

УДК 621.9:621.928.4

В. И. Лавриненко, д-р техн. наук, **Г. Д. Ильницкая**, канд. техн. наук,
Г. П. Богатырева, д-р техн. наук, **Г. А. Петасюк**, канд. техн. наук, **В. В. Смоквина**

Институт сверхтвердых материалов им. В. Н. Бакуля НАН Украины, г. Киев

ВЛИЯНИЕ МОРФОМЕТРИЧЕСКИХ ХАРАКТЕРИСТИК ПОРОШКОВ СИНТЕТИЧЕСКОГО АЛМАЗА МАРКИ АС6 НА ИЗНОСОСТОЙКОСТЬ ШЛИФОВАЛЬНОГО ИНСТРУМЕНТА

Рассмотрены вопросы режущей способности синтетического алмаза марки АС6, синтезированного в системе Fe–Si–C. Показаны возможности исследования морфометрических характеристик алмазов как средства для эффективного их применения в шлифовальном инструменте. Установлена связь этих характеристик с износостойкостью шлифовального инструмента при алмазном шлифовании.

Ключевые слова: удельная магнитная восприимчивость, элементный состав, алмазное шлифование, удельный расход алмазов, износостойкость инструмента.

Введение

В настоящее время в промышленности при обработке изделий из твердого сплава, керамики, стекла и других хрупких материалов широко применяют порошки синтетического алмаза низкопрочных марок АС4 и АС6. Известно, что на показатели процесса обработки материалов и качество обрабатываемой поверхности существенно влияют морфологические, размерные и геометрические (совокупно морфометрические) характеристики абразивных порошков, используемых при изготовлении инструмента. При алмазно-абразивной обработке большое значение придают также характеристикам рельефа контура проекции зерен, в частности выступам, которые интерпретируются как режущие кромки. Как правило, режущие кромки абразивных порошков характеризуются количеством, углами заострения и радиусами закругления. Результаты экспериментальных исследований показали, что углы заострения режущих кромок влияют на толщину и глубину среза при обработке алмазным инструментом твердых и хрупких материалов [1], а также на режущие свойства зерен алмазных и абразивных порошков [2;3], и прочность зерен [4].

Цель настоящей работы – исследовать морфометрические характеристики алмазов невысокой прочности и их влияние на износостойкость шлифовальных кругов при алмазном шлифовании труднообрабатываемых материалов.

Методика исследований и исходные материалы

Исследовали шлифпорошок алмаза марки АС6 зернистостью 160/125, синтезированные в системе Fe–Si–C. Алмазы разделяли в магнитном поле разной напряженности на четыре магнитные фракции, различающиеся прочностью и удельной магнитной восприимчивостью. Прочность шлифпорошков алмаза (P , Н) по разрушающей нагрузке при статическом сжатии зерен определяли по методике, приведенной в ДСТУ 3292-95. Магнитную восприимчивость ($\chi \cdot 10^{-8} \text{ м}^3/\text{кг}$) измеряли по методике, разработанной в ИСМ им. В. Н. Бакуля НАН Украины [5]. Автоматизированную диагностику морфометрических характеристик порошков алмаза осуществляли с помощью прибора DiaInspect.OSM [6]. Методом автономной математической обработки полученного в результате DiaInspect-диагностики xls-файла определяли средние значения полученных данных и оценивали их адекватность по индексу стабильности [7].

После определения морфометрических характеристик порошки алмаза использовали для изготовления шлифовальных кругов. В процессе испытания этих кругов по методике, приведенной в [8], исследовали эксплуатационные показатели работоспособности в виде

удельного расхода алмазов (q_p). При этом удельный расход алмазов взяли в качестве критерия износостойкости кругов.

Результаты исследований и их обсуждение

Результаты разделения синтезированных в системе Fe–Si–C, шлифпорошков алмаза марки AC6 зернистостью 160/125 в магнитном поле приведены в табл. 1.

Таблица 1. Результаты разделения синтезированных в системе Fe–Si–C порошков синтетического алмаза марки AC6 в магнитном поле

| Название фракции разделения | Номер образца | Удельная магнитная восприимчивость, $\chi \cdot 10^{-8} \text{ м}^3/\text{кг}$ | Прочность, $P, \text{Н}$ |
|------------------------------|---------------|--|--------------------------|
| Магнитная 1 | 1 | 1211 | 12,7 |
| Магнитная 2 | 2 | 252 | 7,7 |
| Магнитная 3 | 3 | 202 | 4,6 |
| Магнитная 4 (немагнитная) | 4 | 123 | 3,1 |

Из данных табл. 1 следует, что в результате разделения получены порошки алмаза, отличающиеся удельной магнитной восприимчивостью от $1211 \cdot 10^{-8} - 123 \cdot 10^{-8} \text{ м}^3/\text{кг}$ и прочностью 12,7 – 3,1 Н. Из каждой магнитной фракции отобрали образцы для исследования морфометрических характеристик.

DiaInspect-фотографии зерен алмаза марки AC6 зернистостью 160/125 крайних магнитных фракций разделения, отличающихся магнитными и прочностными свойствами, показаны на рис. 1.

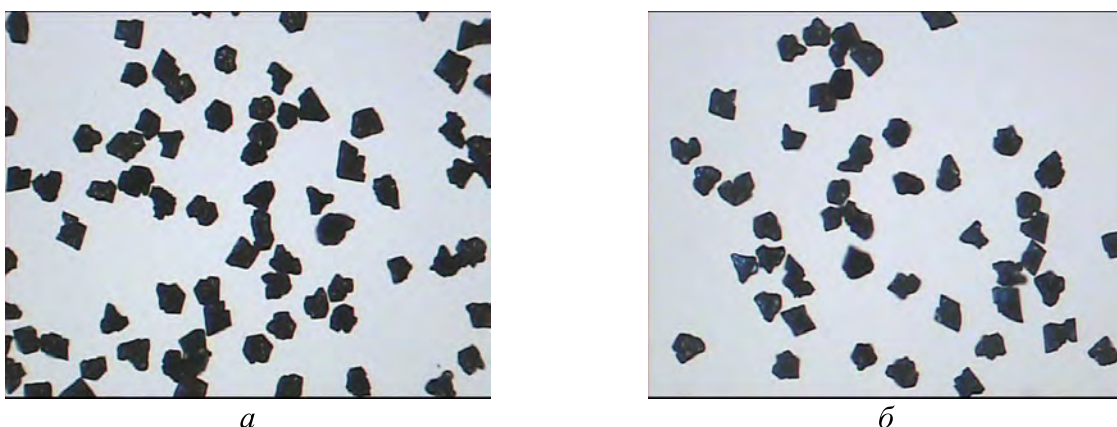


Рис. 1. Внешний вид зерен алмаза марки AC6 зернистостью 160/125 после разделения в магнитном поле: а – образец 1, б – образец 4

Для полученных образцов определили следующие характеристики рельефа контура проекции зерен: количество режущих кромок (n), среднее значение углов их заострения (φ, град.), глубина впадин (C_n , мкм), высоту основания режущих кромок (h_n , мкм) и их ширину (Δ_n , мкм), эквивалентный диаметр зерен алмаза (d_s , мкм). Результаты определения указанных морфометрических характеристик всех образцов алмазов марки AC6 приведены в табл. 2.

При этом эквивалентный диаметр зерен определяли непосредственно прибором DiaInspect.OSM, остальные характеристики – по известной методике [9].

Как следует из данных табл. 2, зерна алмаза в образцах различаются морфометрическими характеристиками. Так, наиболее прочные зерна алмаза образца 1 имеют больше режущих кромок при меньшей глубине впадин. Наблюдается тенденция к

уменьшению количества режущих кромок и угла их заострения по мере снижения прочности порошка и его удельной магнитной восприимчивости.

Таблица 2. Результаты определения морфометрических характеристик образцов алмазов марки АС6, синтезированных в системе Fe–Si–C

| Номер образца | n | φ | C_n | h_n | Δ_n | d_3 |
|---------------|-----|-----------|--------|--------|------------|---------|
| 1 | 11 | 102,8 | 11,847 | 39,800 | 49,876 | 186,271 |
| 2 | 10 | 101,4 | 12,228 | 41,609 | 50,860 | 182,610 |
| 3 | 10 | 99,8 | 12,851 | 43,972 | 52,234 | 182,269 |
| 4 | 9 | 96,9 | 13,516 | 47,039 | 53,056 | 177,616 |

Таблица 3. Средние значения морфометрических характеристик шлифпорошков алмаза марки АС6 зернистостью 160/125

| Характеристика | Наименование образца | | | |
|------------------|----------------------|--------|--------|--------|
| | №1 | №2 | №3 | №4 |
| F_{\max} | 225,57 | 223,86 | 226,59 | 221,86 |
| F_{\min} | 175,437 | 173,08 | 173,01 | 166,57 |
| C_r | 1,3582 | 1,3706 | 1,3878 | 1,4188 |
| El | 1,2418 | 1,2480 | 1,2663 | 1,2902 |
| F_e | 1,2911 | 1,2988 | 1,3178 | 1,3393 |
| Rg | 1,0770 | 1,0774 | 1,0794 | 1,0817 |
| d_c , мкм | 200,50 | 198,47 | 199,80 | 194,22 |
| d_3 , мкм | 186,72 | 184,38 | 184,75 | 178,16 |
| A_t , мк | 27622 | 26983 | 27125 | 25126 |
| P_r , мкм | 684,00 | 678,33 | 683,62 | 666,51 |
| p_c , мкм | 634,39 | 629,03 | 632,71 | 615,68 |
| $P_{уд}$, 1/мкм | 0,0251 | 0,0259 | 0,0262 | 0,0269 |

При выполнении работы кроме упоминавшегося эквивалентного диаметра зерен дополнительно анализировали следующие морфометрические характеристики зерен алмаза марки АС6 зернистостью 160/125, синтезированных с применением ферроцремния в виде сплава-растворителя: площадь проекции зерна, периметры истинного (фактического) и выпуклого его контуров, максимальный и минимальный диаметры Feret, форм-факторы выпуклого и фактического изображения проекции зерна, эллиптичность, Feret-удлинение и шероховатость зерен. Подробное описание и геометрическая интерпретация этих и других морфометрических характеристик, диагностируемых прибором DiaInspect.OSM, приведено в [10]. Средние значения диагностировавшихся характеристик приведены в (табл. 3), их адекватность по стабильности в (табл. 4). Методом математического моделирования [11] определяли так же зерновой состав (табл. 5) исследуемых порошков алмаза согласно ДСТУ 3292-95.

**РАЗДЕЛ 3. ТЕХНИКА И ТЕХНОЛОГИЯ ПРОИЗВОДСТВА ТВЕРДЫХ СПЛАВОВ
И ИХ ПРИМЕНЕНИЕ В ИНСТРУМЕНТЕ ДЛЯ РАЗЛИЧНЫХ ОТРАСЛЕЙ ПРОМЫШЛЕННОСТИ**

Как показывают данные табл. 3, по шероховатости зерен R алмазы образцов существенно не различаются. Относительно зернового состава по показателям мелкой и основной фракций все четыре образца удовлетворяют требованиям ДСТУ 3292-95.

Таблица 4. Показатели стабильности характеристик шлифпорошков алмазов марки АС6

| Характеристика | Значение для образца | | | |
|------------------|----------------------|---------|---------|---------|
| | №1 | №2 | №3 | №4 |
| F_{\max} | 0,35427 | 0,33355 | 0,32932 | 0,41792 |
| F_{\min} | 0,31896 | 0,39597 | 0,30716 | 0,47407 |
| C_r | 0,51118 | 0,55850 | 0,53584 | 0,50574 |
| E_l | 0,47652 | 0,43255 | 0,41517 | 0,43702 |
| F_e | 0,54873 | 0,52039 | 0,51780 | 0,52182 |
| Rg | 0,80744 | 0,77813 | 0,82776 | 0,79016 |
| d_c , мкм | 0,34258 | 0,36434 | 0,32398 | 0,46326 |
| d_s , мкм | 0,38672 | 0,37499 | 0,34647 | 0,47336 |
| A_t , мк | 0,19474 | 0,22478 | 0,18781 | 0,29324 |
| P_r , мкм | 0,30870 | 0,32849 | 0,29212 | 0,42627 |
| p_c , мкм | 0,34976 | 0,34904 | 0,32257 | 0,44720 |
| $P_{уд}$, 1/мкм | 0,39585 | 0,13637 | 0,09770 | 0,43735 |

Показатели крупной фракции всех образцов, за исключением 4, несколько превышают норму указанного стандарта. Однако это превышение соизмеримо с погрешностью расчетного метода.

Таблица 5. Показатели зернового состава (%) по количеству (N) и массе (M) зерен (ДСТУ 3292-95) исследуемых образцов шлифпорошков марки АС6

| № п/п | Граница размерных интервалов, мкм | Показатели зернового состава | | | | | | | | |
|----------|--|------------------------------|------|------|------|-------|------|------|------|------|
| | | 1 | | 2 | | 3 | | 4 | | |
| | | N | M | N | M | N | M | N | M | |
| 1 | 14 | 20 | — | — | 0,00 | 0,00 | 0,00 | 0,00 | — | — |
| 2 | 20 | 28 | — | — | 0,23 | 0,00 | 0,20 | 0,00 | — | — |
| 3 | 28 | 40 | — | — | 0,17 | 0,00 | 0,33 | 0,00 | — | — |
| 4 | 40 | 50 | — | — | 0,00 | 0,00 | 0,00 | 0,00 | — | — |
| 5 | 50 | 63 | 0,00 | 0,00 | 0,06 | 0,001 | 0,07 | 0,00 | 0,00 | 0,00 |
| 6 | 63 | 80 | 0,17 | 0,03 | 0,11 | 0,02 | 0,47 | 0,08 | 0,40 | 0,08 |
| 7 | 80 | 100 | 0,78 | 0,24 | 0,79 | 0,23 | 0,93 | 0,29 | 1,09 | 0,40 |

| | | | | | | | | | | |
|----|-----|-----|-------|-------|-------|-------|-------|-------|-------|-------|
| 8 | 100 | 125 | 7,89 | 5,00 | 7,70 | 4,14 | 7,48 | 4,73 | 14,95 | 10,26 |
| 9 | 125 | 160 | 78,86 | 74,62 | 80,63 | 77,42 | 78,10 | 75,55 | 76,44 | 77,36 |
| 10 | 160 | 200 | 11,70 | 17,50 | 10,92 | 16,73 | 12,02 | 17,84 | 7,03 | 11,57 |
| 11 | 200 | 250 | 0,43 | 1,38 | 0,34 | 1,16 | 0,33 | 1,06 | 0,10 | 0,33 |
| 12 | 250 | 315 | 0,09 | 0,43 | 0,06 | 0,29 | 0,07 | 0,44 | 0,00 | 0,00 |
| 13 | 315 | 400 | 0,09 | 0,81 | 0,00 | 0,00 | 0,00 | 0,00 | – | – |

Из анализа данных табл. 4 следует, что по размерным характеристикам наиболее однородны порошки образца 4, хотя по значениям характеристик уступают зернам других образцов. В то же время по характеристикам формы зерен и развитости их поверхности наиболее однородными являются зерна образца 1. Средние значения указанных характеристик этого образца меньше, чем других образцов. Это свидетельствует о том, что зерна образца 1 имеют более совершенную форму по сравнению с формой зерен других образцов.

Порошки алмаза марки АС6 зернистостью 160/125 (образцы 1 и 4), полученные после разделения в магнитном поле разной напряженности, использовали для изготовления экспериментальных шлифовальных кругов формы 12A2-45° 100×5×3×32 на металлической связке марки М1-10. Испытывали эти круги на базе модернизированного универсального заточного станка модели 3В642 при шлифовании образцов твердого сплава марки ВК8 размером 63×15×7. Производительность обработки составила 200 $\text{мм}^3/\text{мин}$. Исследовали также износостойкость экспериментальных кругов по удельному расходу алмазов (q_p).

Изменение удельного расхода алмазов для образцов 1 и 4. показано на рис. 2.

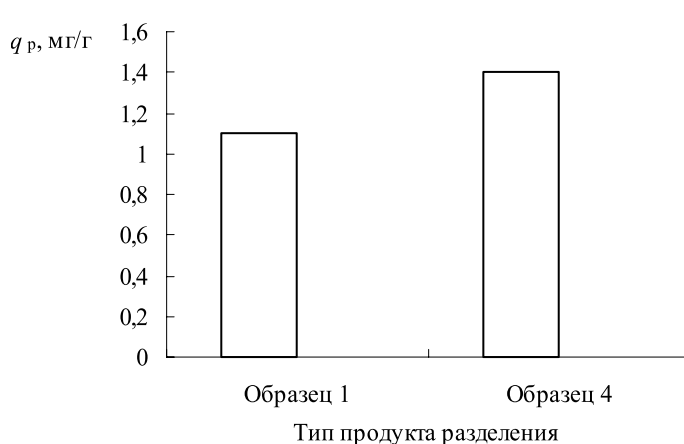


Рис. 2. Удельный расход алмазов марки АС6 (образцы 1 и 4) при обработке твердого сплава марки ВК8

Как следует из данных рис. 2, удельный расход алмазов марки АС6 образца 1 при обработке твердого сплава марки ВК8 приблизительно на 25% ниже удельного расхода алмазов марки АС6 образца 4. Связывая этот факт с характеристиками рельефа контура проекции зерен, можно констатировать, что эти характеристики взаимосвязаны с удельным расходом алмазов. Характер взаимосвязи такой, что меньший удельный расход обеспечивают более крупные зерна с менее выраженной рельефностью контура (больший угол заострения режущих кромок при меньшей их высоте, ширине основания и величине углубления). Все это приводит к снижению потерь алмазов при обработке образцов твердого сплава марки ВК8 и как следствие способствует повышению износостойкости инструмента.

Таким образом, выполненные исследования перспективны, так как позволяют согласовать режущую способность синтетических алмазов с их морфометрическими характеристиками и качеством порошка.

Выводы

Установлена взаимосвязь морфометрических характеристик синтетических алмазов, отвечающих за форму зерен и развитость их поверхности, а также характеристик рельефа

контура проекции с эксплуатационными показателями работы шлифовального инструмента. На примере алмазов марки АС6, синтезированных в системе Fe–Si–C, показано, что за счет использования в инструменте алмазных порошков с оптимальными указанными характеристиками можно достичь снижения удельного расхода алмазов при работе шлифовального круга, что приведет к повышению его износостойкости. Получение выводов на уровне нормативно-практических рекомендаций требует большего объема информации о показателях работы инструмента, изготовленного из алмазных порошков с предварительно установленными морфометрическими характеристиками и характеристиками рельефа контура проекции зерен, и такая работа выполняется.

Розглянуто питання різальної здатності синтетичного алмазу марки AC6, синтезованого в системі Fe–Si–C. Показано можливості дослідження морфометричних характеристик алмазів як засобу для ефективного їх використання у шліфувальному інструменті. Встановлено зв'язок цих характеристик зі зносостійкістю шліфувального інструменту при алмазному шліфуванні.

Ключові слова: питома магнітна сприйнятливість, елементний склад, алмазне шліфування, відносні витрати алмазів, зносостійкість інструменту.

The questions of cutting ability the synthetic diamond of mark AC6 synthesized in system Fe–Si–C are considered in article. Opportunities of research morfometrical characteristics of diamonds are shown for their effective application in the grinding tool. The interrelation of these characteristics with wear resistance of the grinding tool is established at diamond grinding.

Key words: magnetic susceptibility, elemental composition, diamond grinding, the specific consumption of diamond, tool wear.

Література

1. Хрульков В. А., Головань А. Я. Обрабатываемость алмазным инструментом твердых и хрупких материалов // Обработка машиностроительных материалов алмазным инструментом. – М.: Наука, 1966. – С. 93–99.
2. Кузнецов А. М., Голосов И. П. Влияние геометрических параметров синтетических алмазных зерен на их режущие свойства // Станки и инструмент. – 1964. – № 12. – С. 28–29.
3. Низкопрочные синтетические алмазы на основе феррокремния в шлифовальном инструменте. / В. И. Лавриненко, Г. Д. Ильницкая, А. И. Боримский и др. // Прогресивні технології і системи машинобудування: між народ. зб. наук. пр. – Донецьк: ДонНТУ, 2010. – Вип. 40. – С. 99–104.
4. Пивоваров М.С. Особенности геометрических параметров синтетических алмазов // Алмазы. – 1971. – Вып. 7. – С. 8–9.
5. М88 України 90.256-2004. Методика определения удельной магнитной восприимчивости порошков сверхтвердых материалов. К.: – ИСМ им. В. Н. Бакуля НАН Украины, 2004. – 9 с.
6. E. List, J. Frenzel, H. Vollstadt A new system for single particle strength testing of grinding powders // Industrial diamond rev. – 2006. – № 1. – Р. 42–47.
7. Новиков Н. В., Богатырева Г. П., Петасюк Г. А. К вопросу повышения информативности морфологических характеристик порошков из сверхтвердых материалов, определяемых на видео- компьютерных диагностических комплексах // Сверхтвердые матер. – 2005. – № 3. – С. 73–85.
8. Справочник по алмазной обработке металлов режущего инструмента. Под общей редакцией В. Н. Бакуля. – К.: Техника, 1971. – 208 с.

9. Петасюк Г.А. Інтерпретаційні і прикладні аспекти деяких морфологічних характеристик порошків надтвердих матеріалів // Сверхтвердые матер. – 2009. – № 2. – С. 79–94.
10. Богатырева Г. П., Петасюк Г. А., Базалий Г. А., Шамраева В. С. К вопросу однородности алмазных микропорошков по морфометрическим характеристикам // Сверхтвердые матер. – 2009. – № 2. – С. 71–81.
11. Петасюк Г.А. Обобщенная математическая модель процедуры ситовой классификации порошков сверхтвердых материалов // Породоразрушающий и металлообрабатывающий инструмент – техника и технология его изготовления и применения: Сб. науч. тр. – К.: ИСМ им. В. Н. Бакуля НАН Украины. – 2007. – Вып. 10. – С. 212–216.

Поступила 28.05.12

УДК 621.891

**М. Н. Сафонова¹, канд. техн. наук, П. П. Тарасов¹,
А. С. Сыромятникова², канд. физ.-мат. наук, А. А. Федотов¹**

¹Северо-Восточный федеральный университет им. М. К. Аммосова г. Якутск, Россия

²Институт физико-технических проблем Севера им. В.П. Ларионова
СО РАН, г. Якутск, Россия

ВЛИЯНИЕ УПРОЧНЯЮЩЕЙ ФАЗЫ НА СТРУКТУРУ И СВОЙСТВА ОЛОВЯНИСТОЙ БРОНЗЫ

Проанализирована проблема разработки и эксплуатации абразивных инструментов – определение структуры композитных материалов с наполнителями из порошков сверхтвердых материалов. Исследовано влияние добавок алмазных микропорошков на физико-механические свойства порошкового сплава.

Ключевые слова: твердость, плотность, микропорошок, оловянистая бронза, алмазный инструмент.

В настоящее время большой интерес вызывает изучение наноструктурированных материалов, среди которых особое место занимают кластеры углерода.

В Институте сверхтвердых материалов им. В. Н. Бакуля НАН Украины разработаны технологические процессы получения из продукта детонационного синтеза фирмы «Алит» нескольких марок синтетических алмазов детонационного синтеза (ДНА) различного функционального назначения [1]. Разнообразие принципиально новых свойств этих материалов позволяет использовать их для качественно новых приложений в различных отраслях промышленности, в том числе при разработке алмазных инструментов.

Одним из перспективных направлений решения этой задачи является применение ДНА для получения металлической матричной композиции буровых коронок, содержащей нанодисперсные алмазы в качестве дисперсно-упрочняющих частиц малого размера [2].

Серийно выпускаемые промышленностью буровые коронки с матрицами, состоят преимущественно из спеченного порошка карбида вольфрама [3]. Несмотря на значительное количество таких коронок, различающихся составом и областями применения, перспективен поиск новых составов матриц, которые будут обеспечивать высокую износостойкость коронок и производительность буровых коронок и алмазных инструментов. К перспективным направлениям относится применение нанодисперсных добавок в качестве дисперсно-упрочняющих частиц малого размера. Введение в материалы небольшого